

図1 2025年10月8日 (1023) Thomana

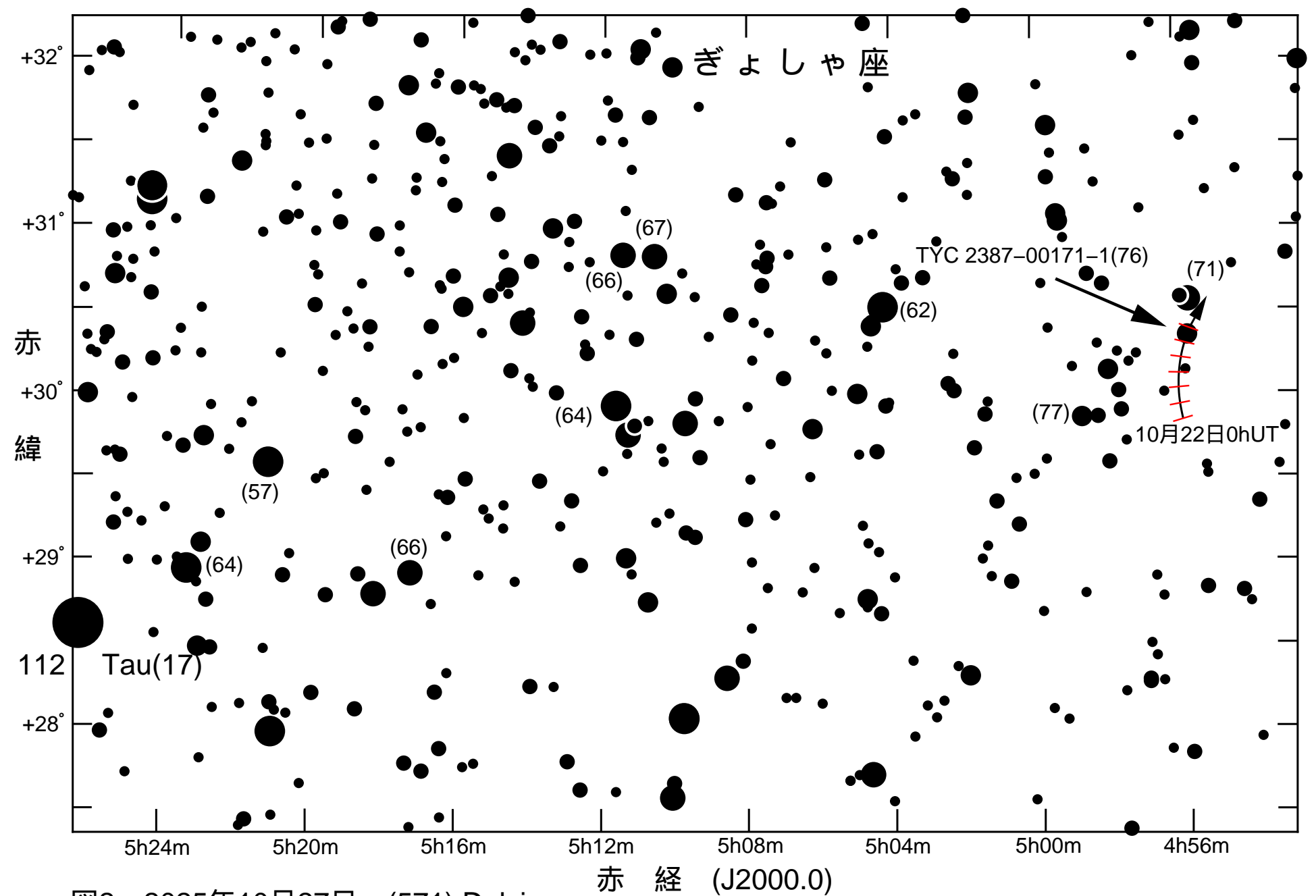


図2 2025年10月27日 (571) Dulcinea

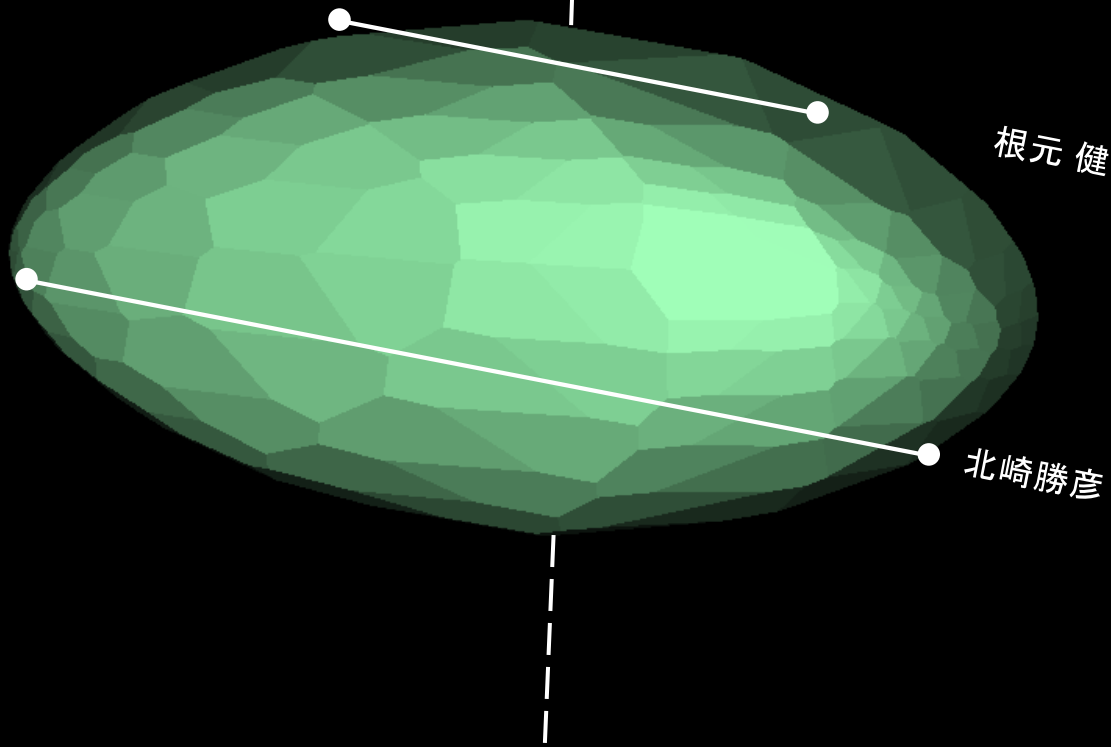
(3134) Kostinsky

出現

自轉軸



潛入



0km

50km

(3134) Kostinsky

2024年12月22日 15h05m22s UT DAMIT Model 10512 ($\lambda = 291$ 、 $\beta = +86$)

$P = 358.0^\circ$ 、 $\beta_e = +6.1^\circ$ 、 $\lambda_e = -95.2^\circ$ 、Scale Factor 1: 40.2、 $k = 1.00$ 、 $B = 226.0^\circ$

(3134) Kostinsky

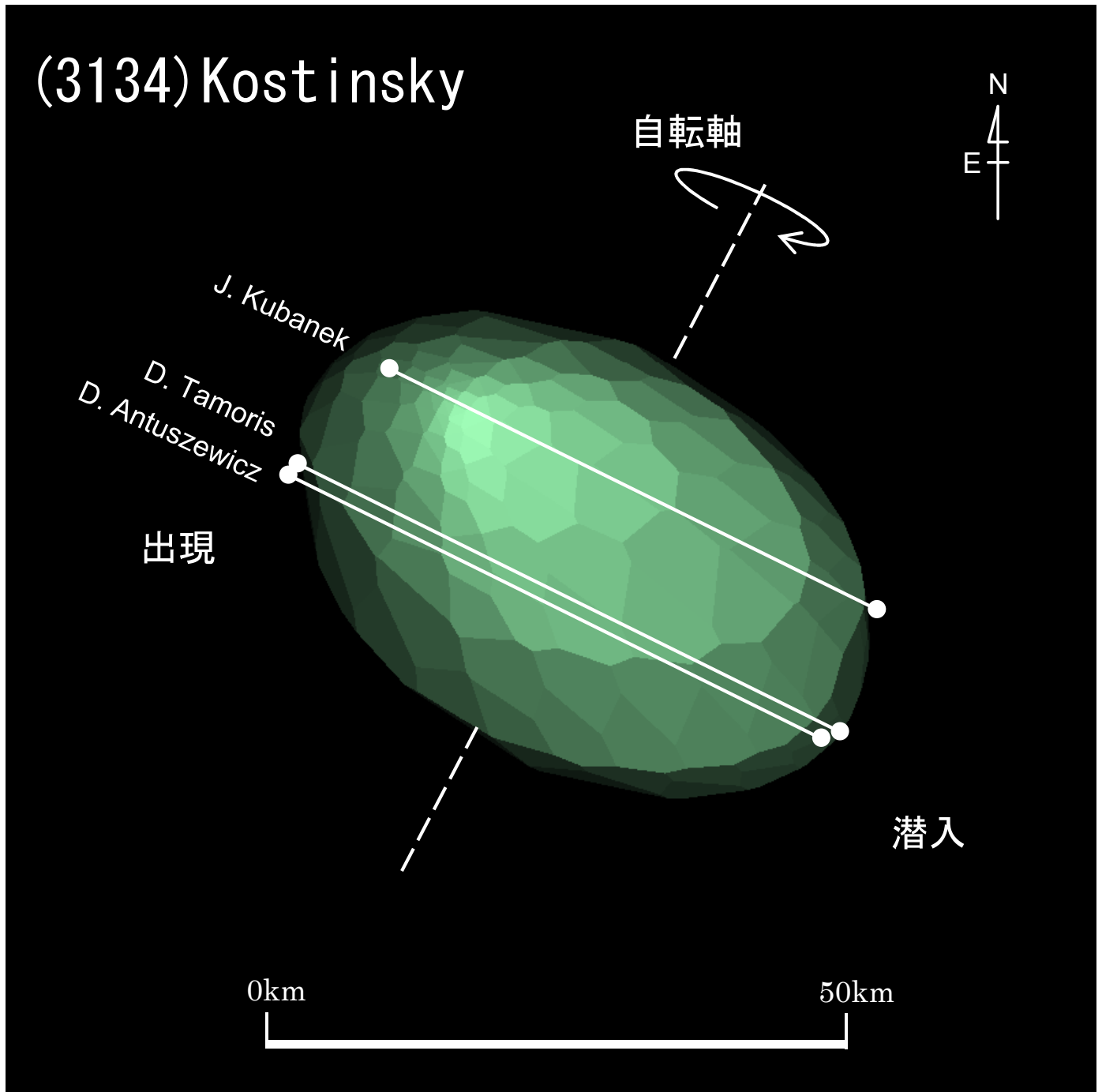


図4 (3134) Kostinsky 2023年9月27日 17h44m33.8 UT DAMIT Model 10512 ($\lambda = 291^\circ$, $\beta = +86^\circ$)※1
 $P = 332^\circ$, $\beta_e = -12^\circ$, $\lambda_e = -19^\circ$, Scale Factor 1:39.1, $k = 0.999$, $B = 333.5^\circ$

(709) Fringilla

出現



潜入

根元 健

北崎勝彦

自転軸

0km

100km

図5 (709) Fringilla 2024年12月25日 13h23m38s UT DAMIT Model 5703 ($\lambda = 128$ 、 $\beta = -53$) ※1
 $P = 171^\circ$ 、 $\beta e = -17^\circ$ 、 $\lambda e = +64^\circ$ 、Scale Factor 1: 72.7、 $k = 0.997$ 、 $B = 34.1^\circ$

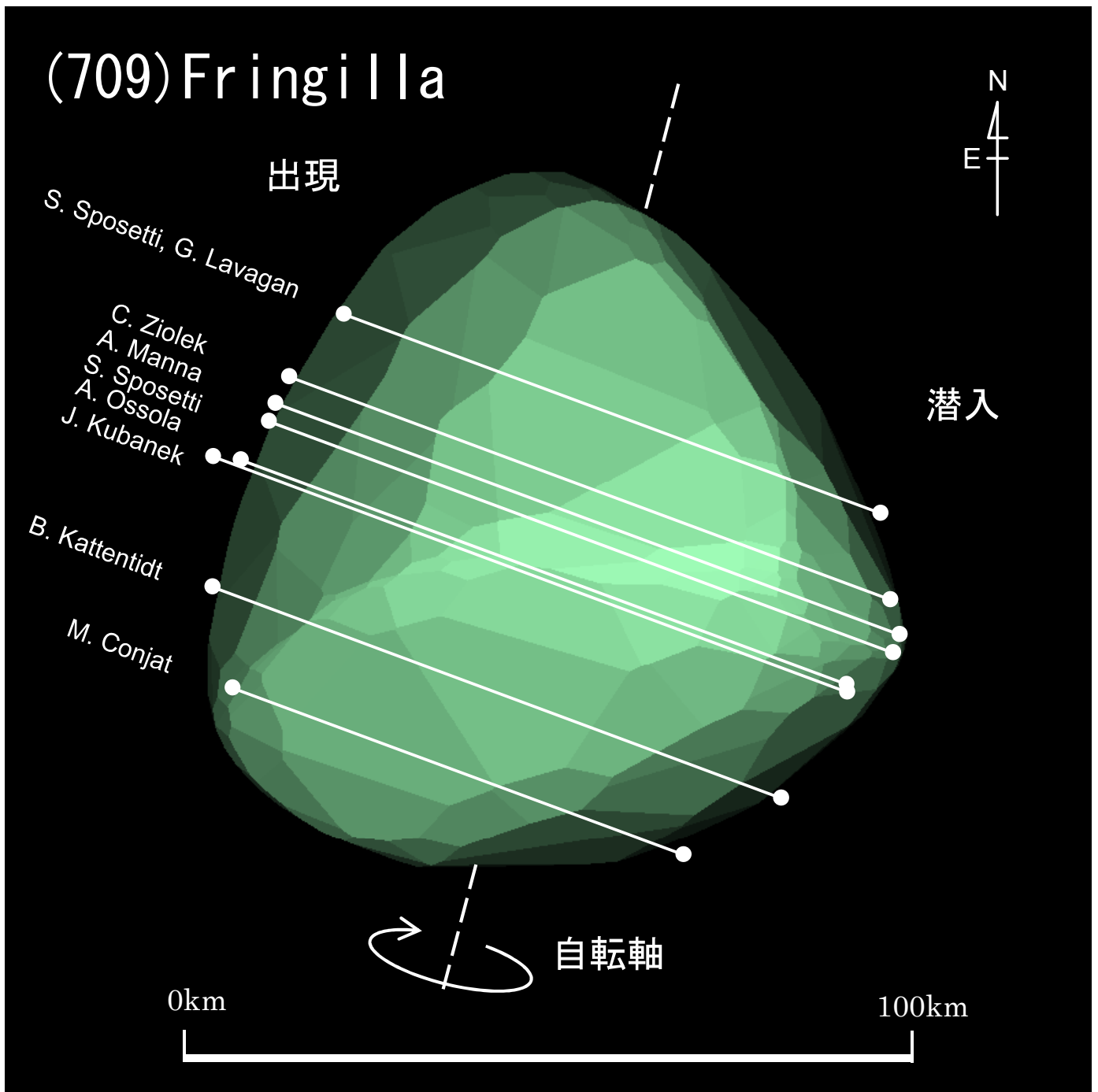


図6 (709) Fringilla 2025年1月16日 17h55m09s UT DAMIT Model 5703 ($\lambda = 128$ 、 $\beta = -53$) ※1
 $P = 166^\circ$ 、 $\beta_e = -17^\circ$ 、 $\lambda_e = -200^\circ$ 、Scale Factor 1: 73.6、 $k = 0.996$ 、 $B = 312.0^\circ$

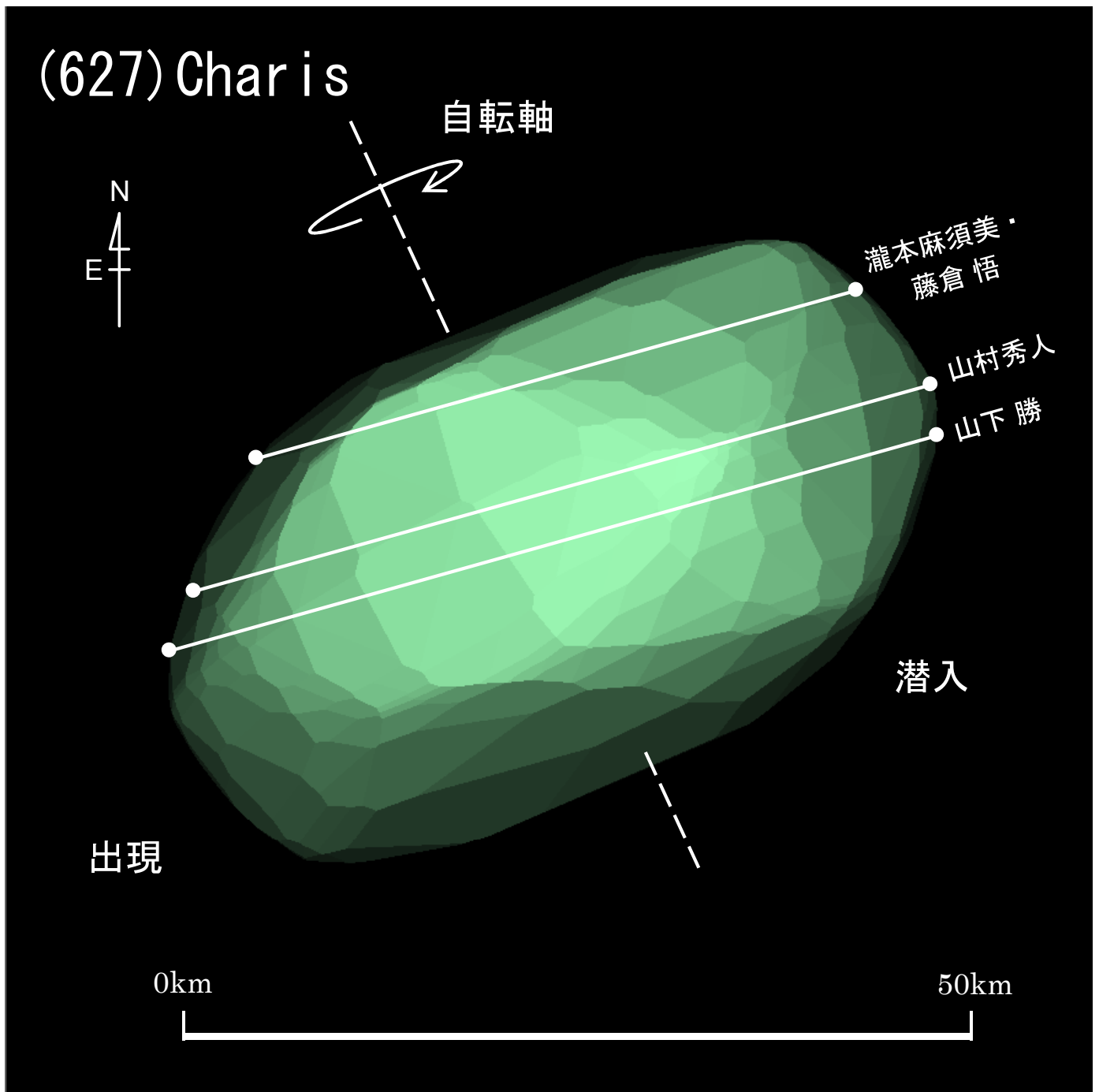


図7 (627) Charis 2025年1月20日 10h40m32s UT DAMIT Model 6161 ($\lambda = 152$ 、 $\beta = +62$) ※1
 $P = 25^\circ$ 、 $\beta_e = -8^\circ$ 、 $\lambda_e = -302^\circ$ 、Scale Factor 1: 36.7、 $k = 0.994$ 、 $B = 259.8^\circ$

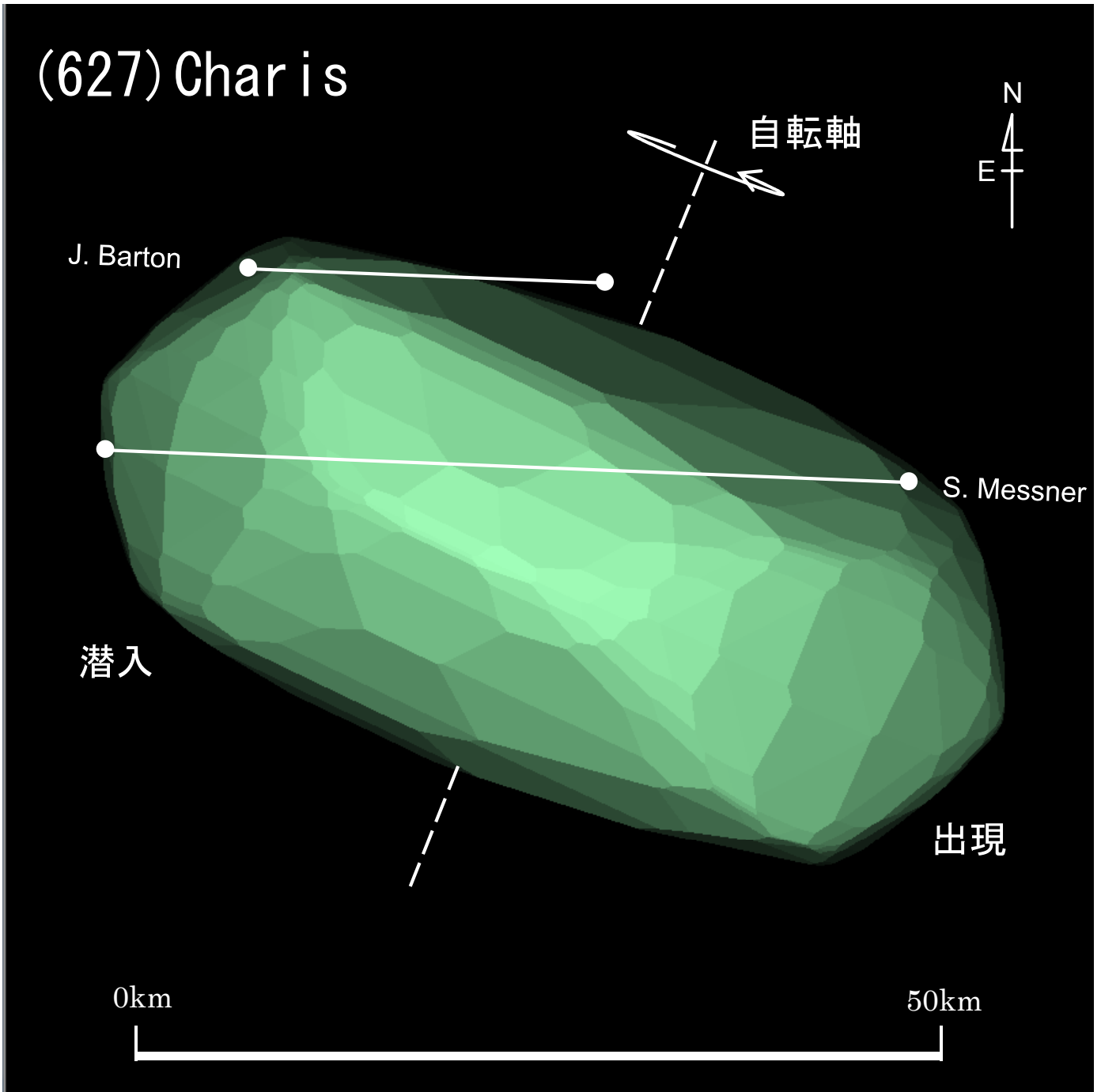


図8 (627) Charis 2022年3月3日 10h32m52s UT DAMIT Model 6161 ($\lambda = 152$ 、 $\beta = +62$) ※1
 $P = 338^\circ$ 、 $\beta_e = +2^\circ$ 、 $\lambda_e = -57^\circ$ 、Scale Factor 1: 35.9、 $k = 0.970$ 、 $B = 95.1^\circ$

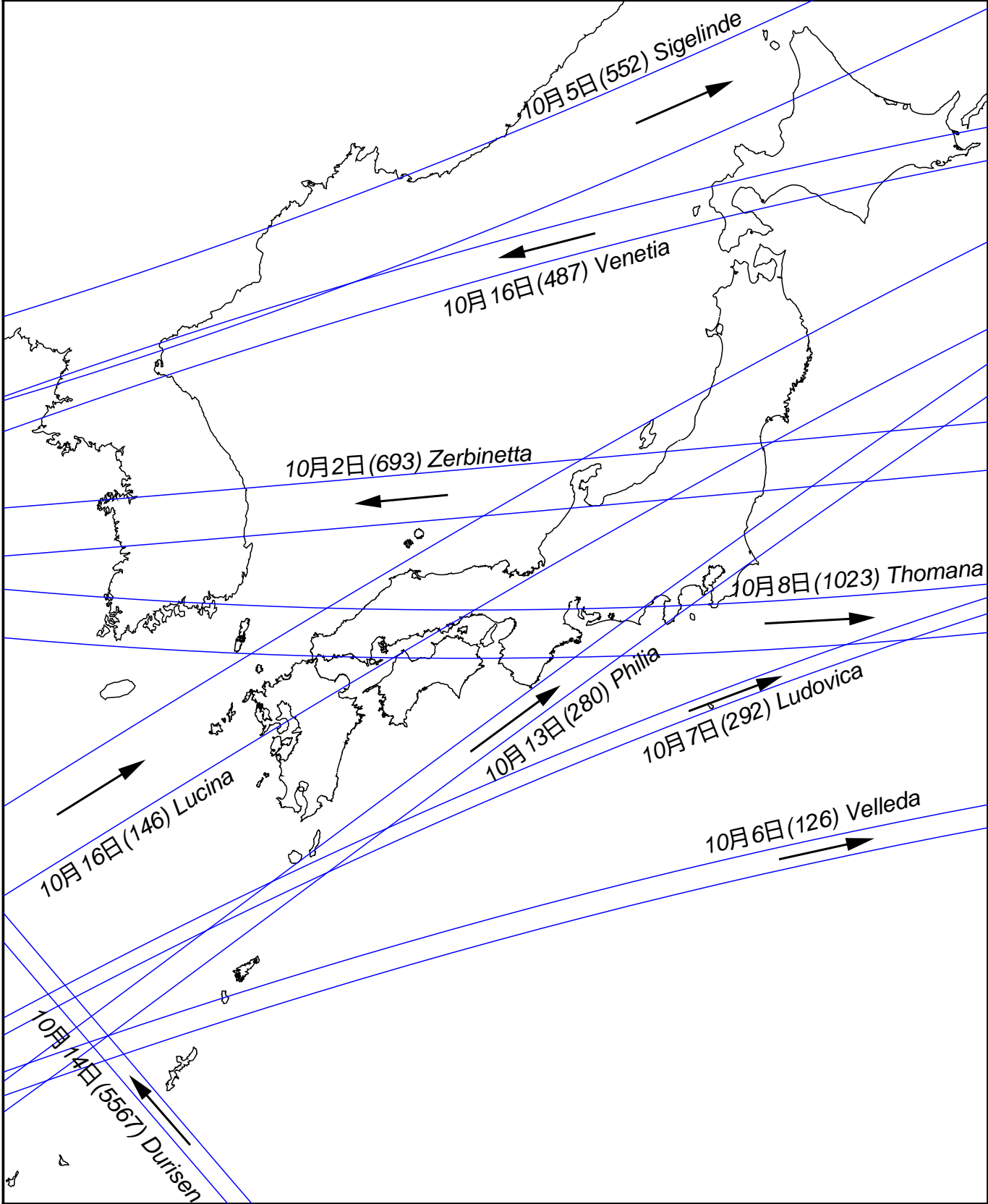


図9 日本付近を通る小惑星による主な掩蔽帯経路（初期予報）2025年10月前半
 矢印は影の移動方向を示す

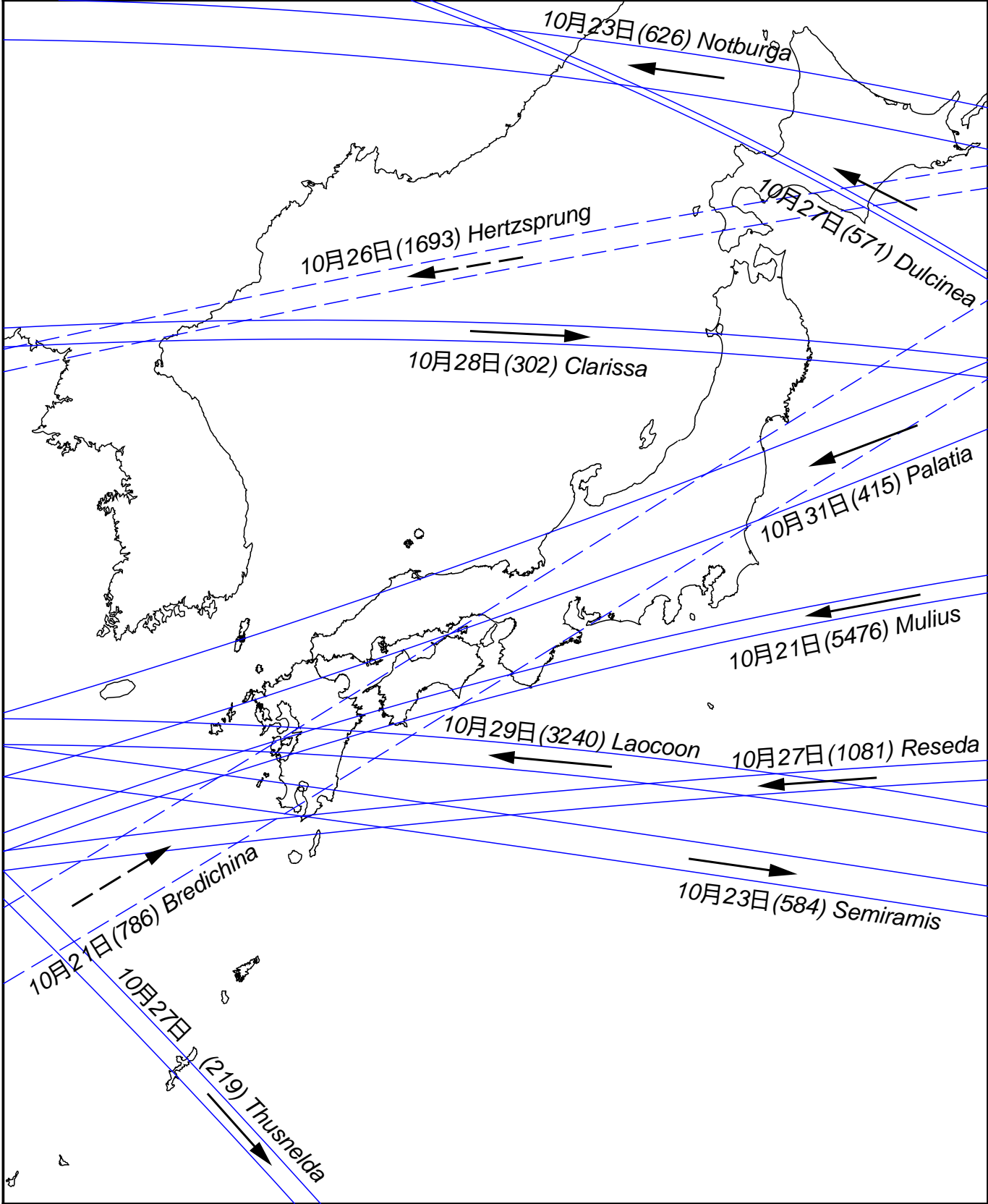


図10 日本付近を通る小惑星による主な掩蔽帯経路（初期予報）2025年10月後半
 矢印は影の移動方向を示す